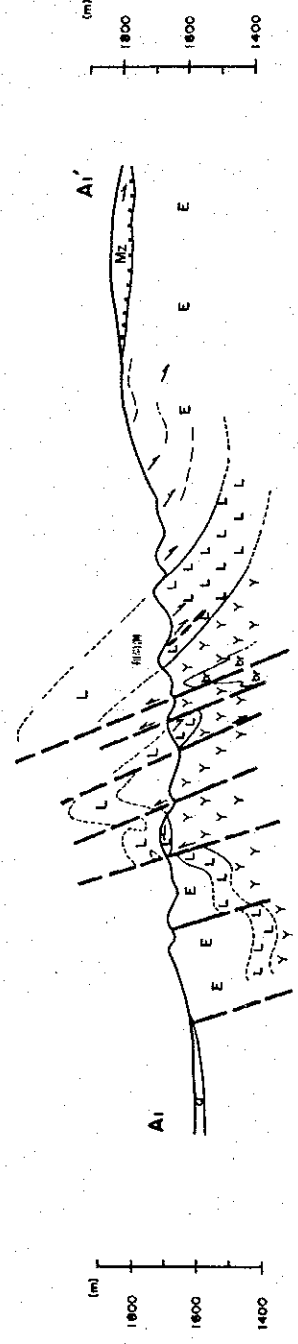
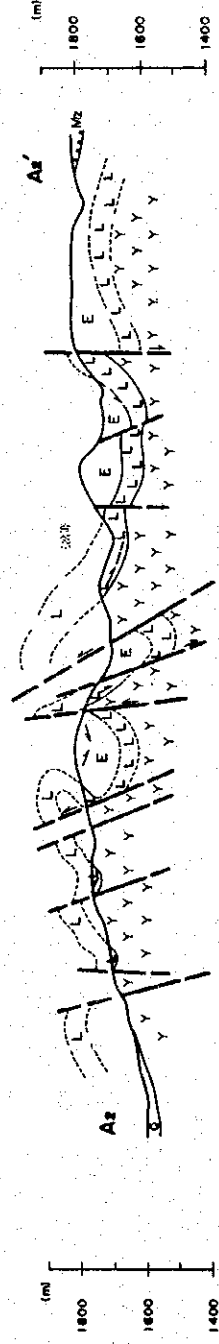


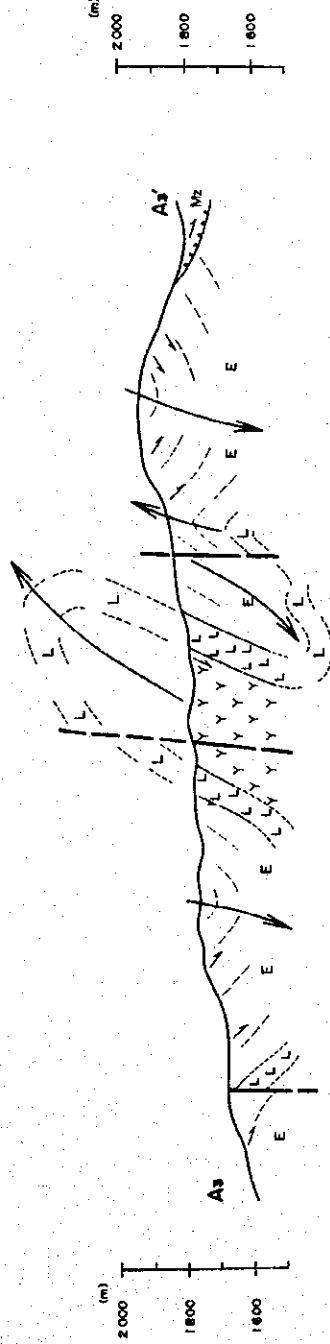
中村地区 A₁ - A₁' 地質断面図 (W-E)



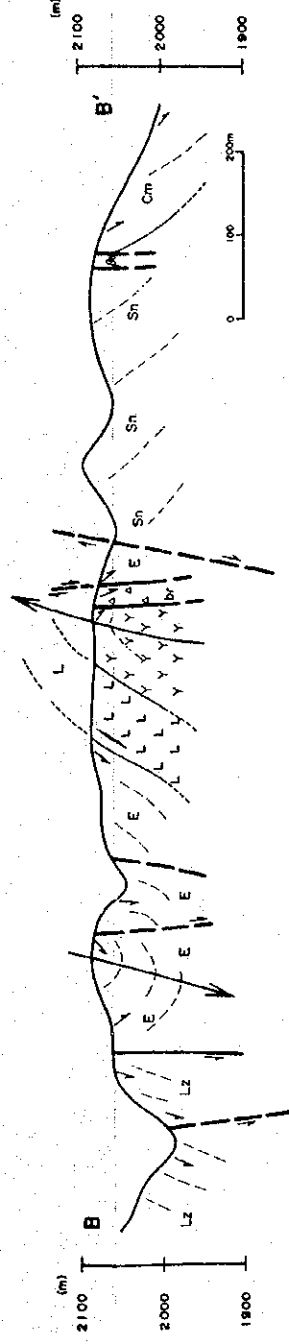
中村地区 A₂ - A₂' 地質断面図 (W-E)



中村地区 A₃ - A₃' 地質断面図 (W-E)



銅座管地区 B - B' 地質断面図 (W-E)



地質凡例

- | | |
|----|---------------------|
| ○ | 新近系 第四系 (礫・砂・泥) |
| ML | 中生界 (砂岩・頁岩) |
| CB | 古生界 砂岩系 (砂岩・頁岩) |
| SS | 中生界 頁岩系 (頁岩類) |
| Ls | 高 漸次系 (泥岩類・砂岩類・粘板岩) |
| E | 中生 頁岩類 (粘板岩・泥岩類) |
| L | 中生 頁岩類 (粘板岩・泥岩類) |
| Y | 中生 頁岩類 (粘板岩・泥岩類) |
| br | 中生 頁岩類 (粘板岩・泥岩類) |
| A | 中生 頁岩類 (粘板岩・泥岩類) |
| J | 中生 頁岩類 (粘板岩・泥岩類) |
| S | 中生 頁岩類 (粘板岩・泥岩類) |
| Mz | 中生 頁岩類 (粘板岩・泥岩類) |

- | | |
|-----|-----------|
| /// | 老成傾斜、逆斜層 |
| /// | 地層傾斜、不整合面 |
| /// | 断層、地層階層 |
| /// | U型断層 |
| /// | 褶曲軸、沖断線 |
| /// | 断層、裂隙 |
| ○ | 断層、裂隙 |



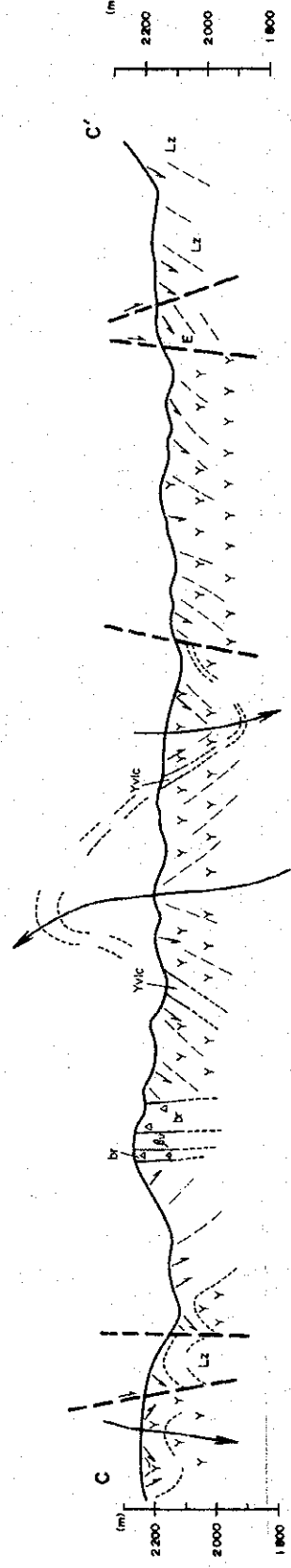
平成6年度 資源開発協力基礎調査
 鉱物資源総合開発調査
 中華人民共和国 撫子地区西側地域
 裸武地域 (第2年次)

裸武地域 地質断面図(1)

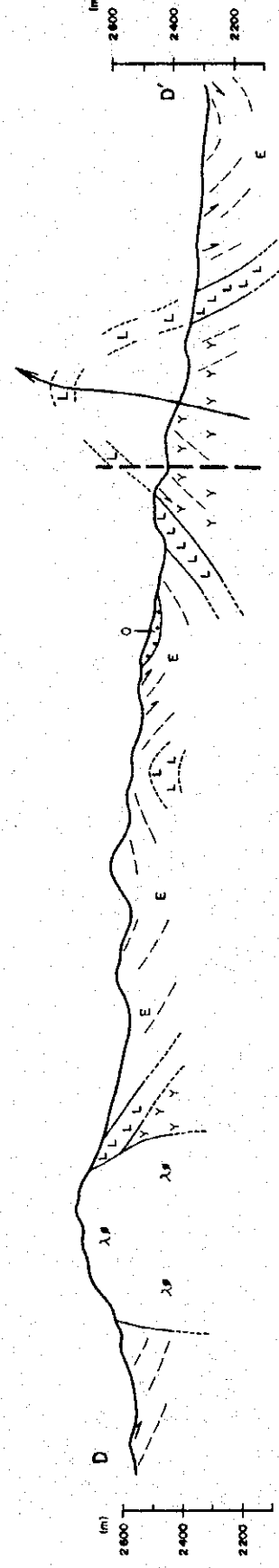
JICA-MMAJ
 1995-2

図2-7-7

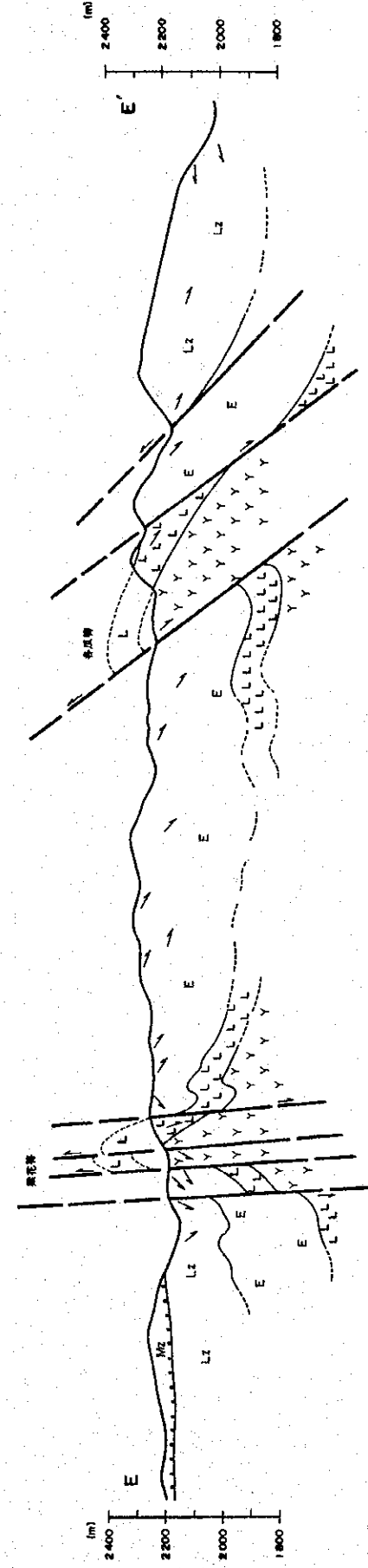
新竹香地区 C-C' 地質断面图 (N-S)



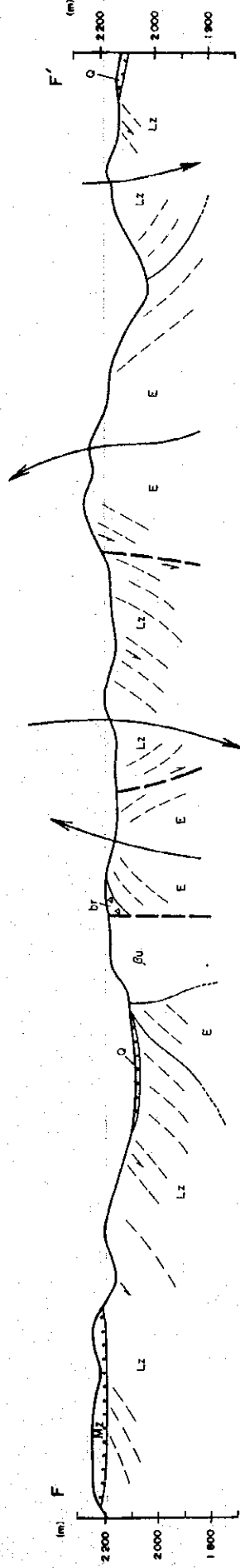
平地場地区 D-D' 地質断面图 (NNE-SSW)



白石岩地区 F-E 地質断面图 (NW-SE)



黑背一河尾地区 F-F' 地質断面图 (NW-SE)



地質凡例

- | | | | | | |
|----|---------------------|-----------|-----------|--------|---|
| O | 新生界 第四系 (砂、砂、泥) | 走向斜交、逆冲滑 | 背斜性、背斜角状褶 | 背 | 背 |
| Ns | 中生界 (砂岩、頁岩) | 地槽陷落、不整合面 | 沈沈岩 | 砂 | 砂 |
| Ca | 古生界 3/7 竹系 (砂岩、頁岩) | 斷層、推定斷層 | 石灰岩 | 石炭層及砂岩 | 石 |
| Sn | 新生界 震旦系 (板岩) | 伏在斷層 | 閃綠岩 | 砂岩 | 砂 |
| Lz | 震旦系 蘇州層 (板岩、砂岩、粘板岩) | 背斜性、背斜角状褶 | 輝綠岩、角閃岩 | 輝綠岩 | 輝 |
| E | 震旦系 蘇州層 (粘板岩、泥板岩) | 斷層、逆冲 | 閃綠岩、輝綠岩 | 輝綠岩 | 輝 |
| L | 震旦系 蘇州層 (輝綠岩) | 背斜性、背斜角状褶 | 輝綠岩、輝綠岩 | 輝綠岩 | 輝 |
| Y | 震旦系 蘇州層 (輝綠岩) | 斷層、逆冲 | 輝綠岩、輝綠岩 | 輝綠岩 | 輝 |

- | | |
|---|---|
| 背 | 背 |
| 砂 | 砂 |
| 石 | 石 |
| 輝 | 輝 |
| 背 | 背 |
| 砂 | 砂 |
| 石 | 石 |
| 輝 | 輝 |

- | | |
|---|---|
| 背 | 背 |
| 砂 | 砂 |
| 石 | 石 |
| 輝 | 輝 |
| 背 | 背 |
| 砂 | 砂 |
| 石 | 石 |
| 輝 | 輝 |

平成6年度 資源開発協力基礎調査

地質資源総合開発調査
中華人民共和國 揚子地台北西緣地塊

揚武地塊 (第2年次)

揚武地塊 地質断面图(2)

JICA-MMAJ

1995-2

図 2-7-7



2.5 岩石分析結果

1) 前提条件

岩石試料分析件数： 505件

分析成分： 14成分(Cu, Pb, Zn, Ag, Sn, Ti, Mo, Ni, Co, V, Be, Cr, Mn, Fe)

統計解析対象件数： 478件(Cu \geq 1500 ppmの試料を除く)

試料採取位置は、付図2-8-1~6に示す。

2) 層序別統計値

統計解析対象全試料(478件)の地化学分析値統計表を、表2-5-1に示す。

落雪層(L)のCu平均値(幾何平均値)及びCu中央値は、他層に比べ明らかに高く、それぞれ242.3ppm及び74.4ppmを示す。

微量元素成分の層序別含有量には次のような特徴が認められる(表2-5-2)。

落雪層(L)： Cu, Mnに富む

落雪層(L)・緑汁江層(Lz)： Cr, Ti, V, Niに乏しい

因民層(Y)・鵝頭厩層(E)： Cr, Ti, V, Niに富む

貫入岩類(Inv)： Ti, V, Mo, Cuなどに富む

これらの差異は主として岩質の差異に基づくと考えられるが、落雪層(L)中のCuの異常濃集は、単なる堆積作用または堆積環境の違いだけでは説明困難であり、海底噴気活動などで継続的にCuが供給されるなど鉍化作用の影響があったことを示唆する。Pbは上位地層に濃集する傾向がある。

3) 相関分析結果(表2-5-3)

① CuとMo, Coは明瞭な相関関係がある。

Cu-Mo: 0.783

Cu-Co: 0.578

② Co-Ni, Cr-Fe及びCu-Ag間にも弱い相関関係が認められる。

③ それ以外の成分では相関関係は認められないが、Ni, Co, Mo, CrなどはFeと比較的親密な関係があると推定される。

4) 銅含有量のヒストグラム(図2-5-1)

Cu \geq 1500ppmを除く全試料(478件)のヒストグラムによれば、Cu含有量には次の3種類の分布(母集団)が認められる。

① Cu \geq 100

② 100 > Cu \geq 5

③ $5 > C_u$

①の母集団は何らかの銅鉱化作用またはその影響を受けた試料と推定される。その中味は半数近くが落雪層である。②は本地域の通常のバックグラウンドを示す母集団であろう。③はサンプリング、分析及び統計処理上生じた集団で格別な意味は考えられない。

5) しきい値

Cu成分及びCu成分の濃集と親密な関係を有するMo, Co 2成分について、 $m+2\sigma$ (平均値+標準偏差 $\times 2$)の値を求め、下記のように異常値のしきい値を設定した。

(1) Cu成分

落雪層(L) :	$m+2\sigma$	=	888.5	≒	900 ppm
因民層(Y) :	$m+2\sigma$	=	405.3	≒	400 ppm
鵝頭廠層(E) :	$m+2\sigma$	=	380.1	≒	400 ppm
緑汁江層(Lz) :	$m+2\sigma$	=	432.5	≒	400 ppm
他 :	$m+2\sigma$	=	391.8	≒	400 ppm
全試料平均 :	$m+2\sigma$	=	484.8		

(2) Mo, Co成分

Mo(全試料) :	$m+2\sigma$	=	2.66	≒	2.7 ppm
Co(全試料) :	$m+2\sigma$	=	49.4	≒	50 ppm

6) 異常値の分布

抽出されたCu, Mo, Co異常値一覧を表2-5-4に示す。地化学異常値の分布を鉱石試料($Cu \geq 0.09\%$)とともに地化学異常値分布図(図2-9-1~6)に示した。岩石試料の異常値数は次の通りであり、試料数では63個、Cu, Mo, Co成分別異常値数では71個である。

(1) Cu異常値

$Cu \geq 1500$:	20
$1500 > Cu \geq 900$:	8
$900 > Cu \geq 400$:	10(落雪層(L)を除外)
合計	38

(2) Mo, Co異常値

$Mo \geq 2.7$:	15
$Co \geq 50$:	18

7) 帯磁率測定結果

地質調査、岩石試料採取と平行して、Kappameter KT-5型を使用し地表露岩の帯磁率を測定した。その結果を帯磁率測定値統計表(表2-5-5)に示す。測定値の単位は、 $\times 10^{-3}$ SI unit である。

測定件数 : 396
 平均値 : 1.79
 測定値範囲 : 0.00~190

層序別・岩質別帯磁率強度分布をみると次のような傾向が認められる。

① 層序別帯磁率 :

$I_{tv} > Y > E > L > Lz > Sn \cdot Cm \cdot Mz$

② 岩石別帯磁率 :

$I_{tv} > S1 > D0$

③ 層序・岩石別帯磁率 :

粘板岩(S1) : $Y_{S1} (=1.00) > E_{S1} (=0.45)$

苦灰岩(D0) : $L_{D0} (=0.33) > LZ_{D0} (=0.11)$

以上の結果から、帯磁率の測定は、鉍化・変質異常帯の捕捉のほか、粘板岩や苦灰岩の層序判別のための参考手段となり得る。

8) 物性値測定結果

岩石・鉍石試料21件の物性値、比抵抗及び分極率の測定結果を巻末資料2-8に示す。層準別の物性値平均値は次の通りである。

岩石名(層準)	件数	比抵抗(Ωm)	分極率(FE%)
苦灰岩(緑汁江層)	4	5110	0.5
苦灰岩(落雪層)	4	6015	-
粘板岩(鵝頭厩層)	4	1219	10.0
粘板岩(因民層)	4	374	1.4
貫入岩	8	1570	2.1
含銅苦灰岩(落雪層)	2	108	44.7
鉄 鉍(因民層)	2	1317	12.5

上記測定結果では、苦灰岩は層準による差異は認められず、高比抵抗、低分極率を示す。粘板岩は、鵝頭層と因民層とで大きな差異がある。鵝頭層粘板岩は高～中比抵抗、高分極率を示し、因民層粘板岩は中～低比抵抗、低分極率を示す。粘板岩の物性値は、含有炭質物の影響が大きいと推定される。貫入岩は概して、高～中比抵抗、低分極率を示す。落雪層の含銅苦灰岩は、低比抵抗、高分極率を示す。因民層中の鉄鉱石は高分極率を示す。銅鉱石及び含銅鉄鉱石と鵝頭層粘板岩をいかにして識別するかが物理探査上の課題となろう。

9) 全岩分析結果

岩石試料20件の全岩分析結果を、巻末資料2-4に示す。SiO₂とCaO, MgO, Al₂O₃, 及び(Na₂O+K₂O)との関係を示す各ダイヤグラムを図2-5-2に示す。

(1) 苦灰岩の化学成分

苦灰岩の主成分は次の通りである。

CaO	:	23~30 %
MgO	:	15~20 %
Al ₂ O ₃	:	0.5~1.7 %
SiO ₂	:	5~23 %
CO ₂	:	35~45 %

- ① 試料749(L)は石灰岩である。
- ② 苦灰岩・石灰岩のSiO₂成分は、落雪層と緑汁江層とで明瞭な差異がある(①図)。

落雪層苦灰岩中のSiO₂ : 15~23 %

緑汁江層石灰岩・苦灰岩中のSiO₂ : 4~7 %

- ③ MgOとSiO₂は逆相関の関係を示す(②図)。
- ④ Al₂O₃の含有は微量で、SiO₂とは全く関係を有しない(③図)。
- ⑤ ③と④の事実から、苦灰岩中に多量に含まれるSiO₂は、堆積性のものではなく、堆積後の珪化作用よりもたらされたと考えられる。
- ⑥ MgOとCaOの関係、①の事実及び③のMgOとSiO₂の関係などから、当初堆積したのは石灰岩で、苦灰岩は石灰岩の続成作用及び変質作用で生成した可能性が大きい。

(2) 粘板岩の化学成分

粘板岩の主成分は次の通りである。

SiO ₂	:	35~61 %
Al ₂ O ₃	:	15~21 %

$\text{Fe}_2\text{O}_3 + \text{FeO}$: 7~10 %

① 試料716(Y)は、石灰質の泥灰岩である。

② 古生界以後の一般的な粘板岩に比べると、 $(\text{Fe}_2\text{O}_3 + \text{FeO})$ に富み、 SiO_2 に乏しい。

(3) 火成岩類

火成岩類の主成分は次のように変動する。

SiO_2 : (42)~47~75 %

Al_2O_3 : 11~18 %

$\text{Fe}_2\text{O}_3 + \text{FeO}$: 3~21 %

$\text{Na}_2\text{O} + \text{K}_2\text{O}$: 2~9~(15) %

()内は異常または特種なケース

① T14(Bu)の $(\text{Fe}_2\text{O}_3 + \text{FeO} + \text{MgO})$ は27.8%で異常に高い。

T01($\lambda\phi$)の K_2O は14.6%と高く、カリ添加作用を想定させる。

② 流紋岩、石英曹長岩などの酸性岩は、 Na_2O_3 に富むグループ(N28, T13, F37)と K_2O に富むグループ(F57, T01)に区分される。

③ 本地域の火成岩類は、 $\text{SiO}_2 - (\text{Na}_2\text{O} + \text{K}_2\text{O})$ 図上でその大半が、流紋岩及びアルカリ玄武岩の領域にプロットされる(図④)。本地域の火成活動はバイモーダルであったことを示している。

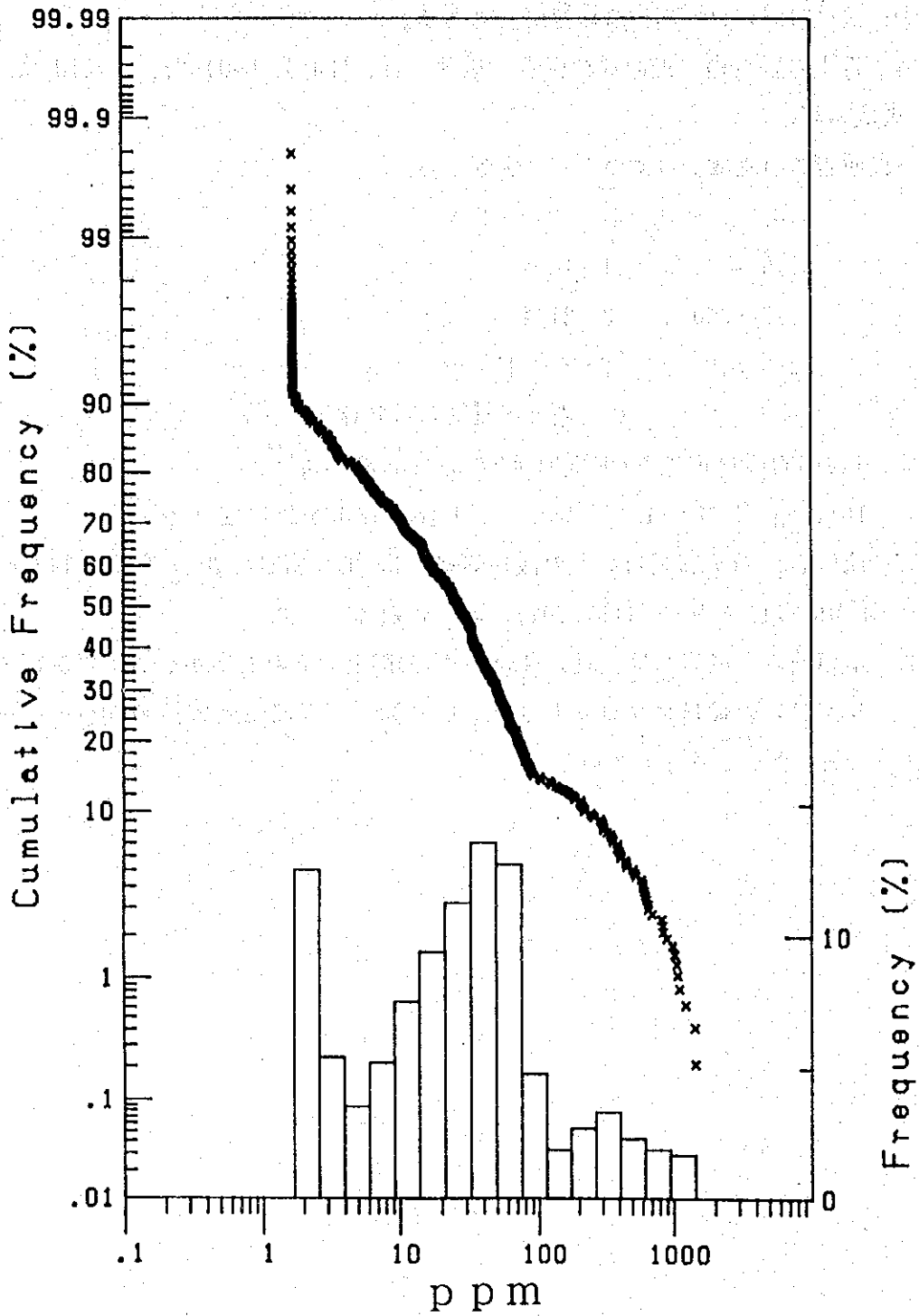


図 2 - 5 - 1 岩石試料 Cu成分ヒストグラム(1)

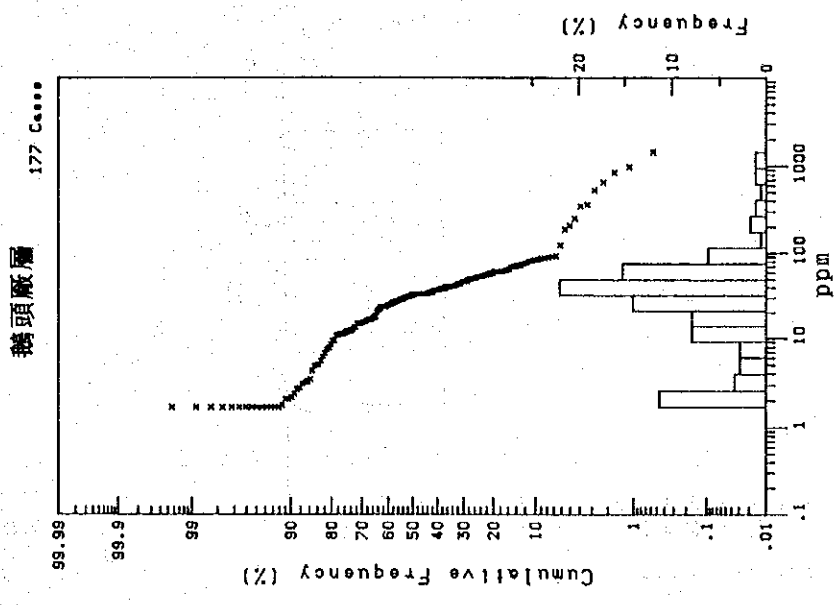
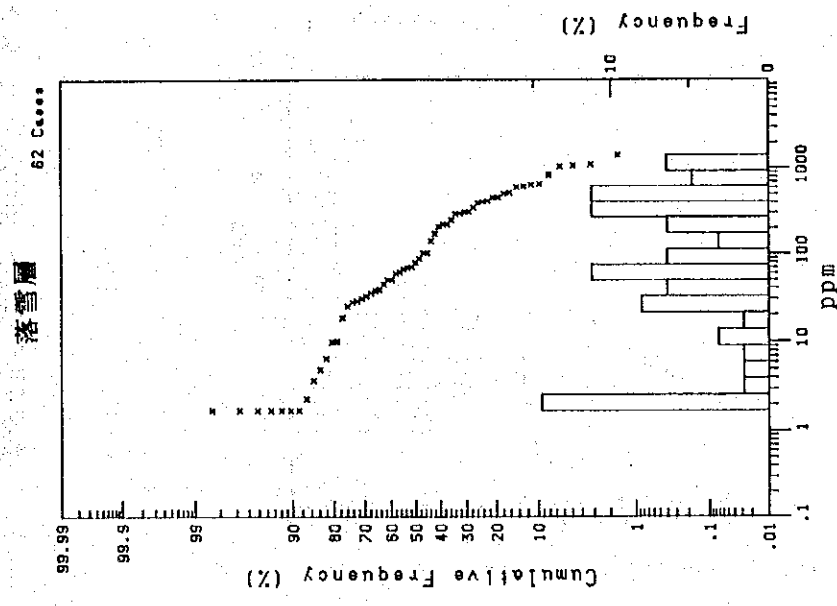
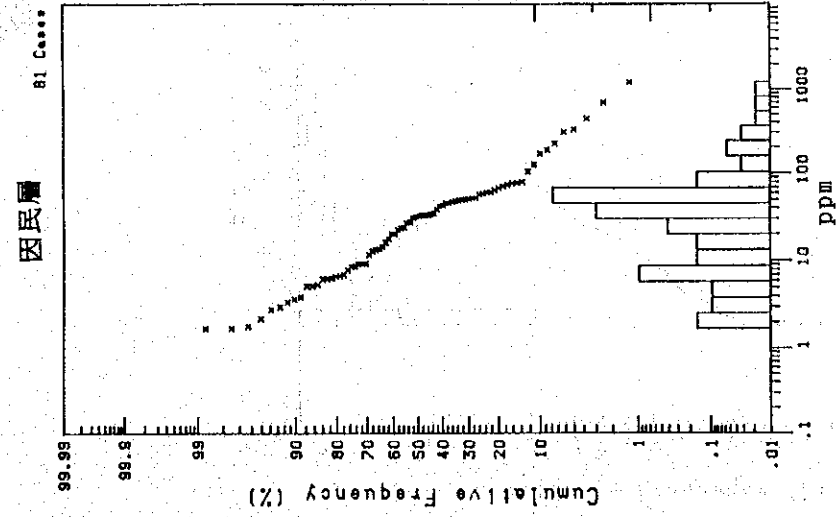
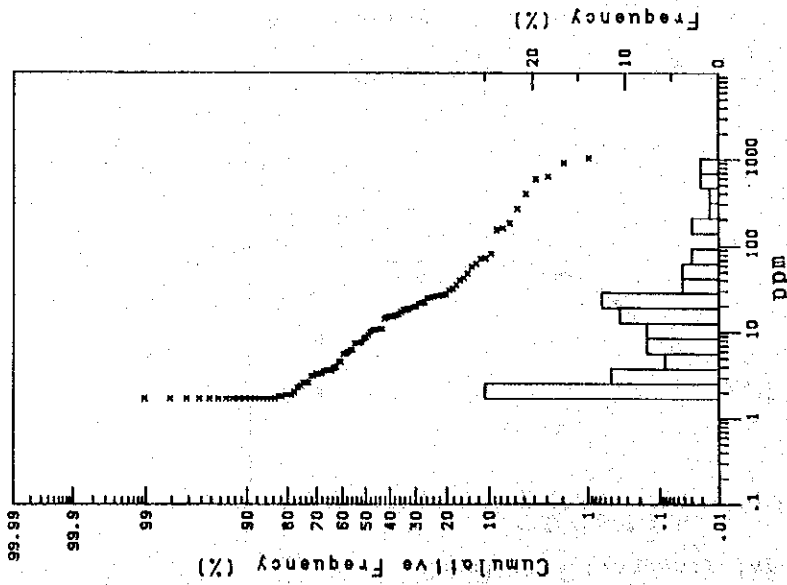


図 2-5-1 岩石試料 Cu 成分ヒストグラム(2)

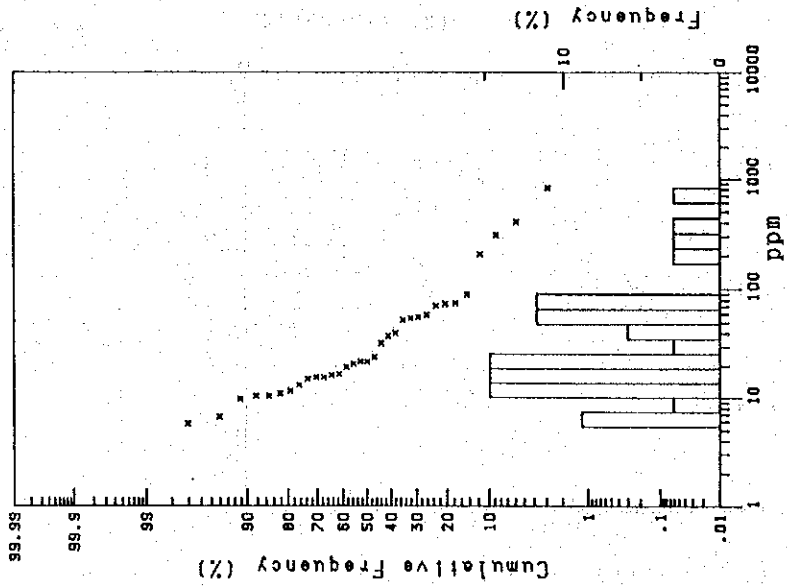
緑汁江層

104 Cases



その他

34 Cases



貫入岩類

20 Cases

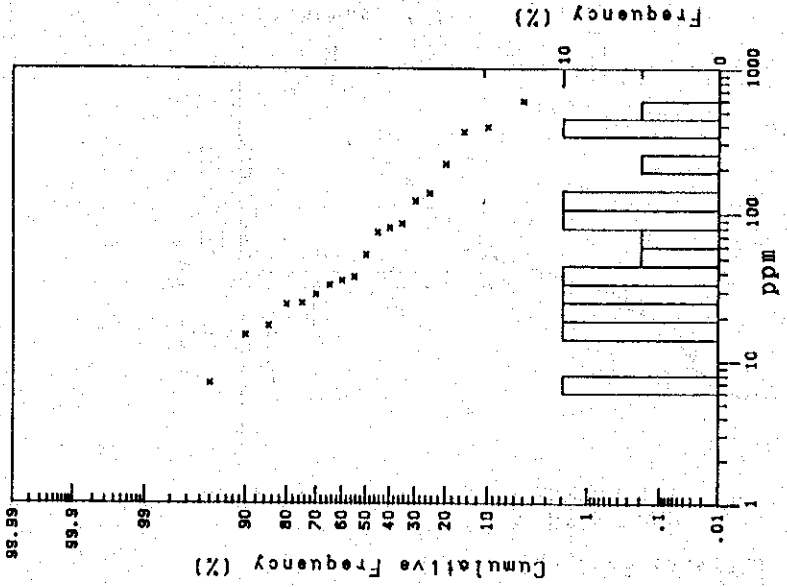
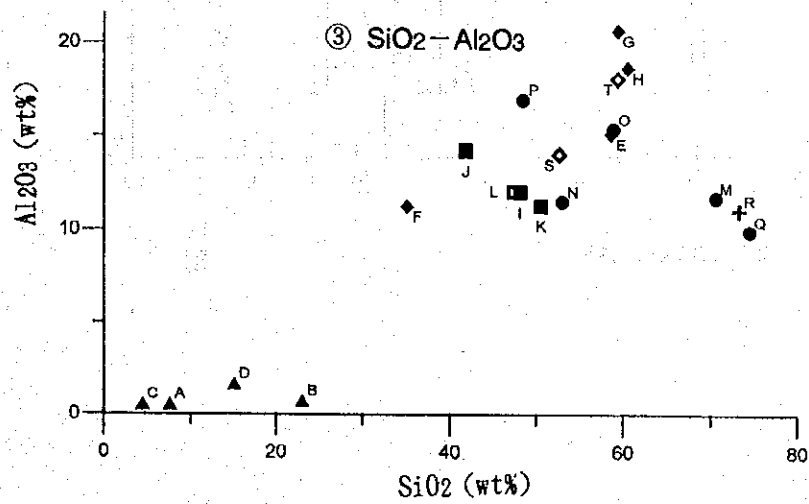
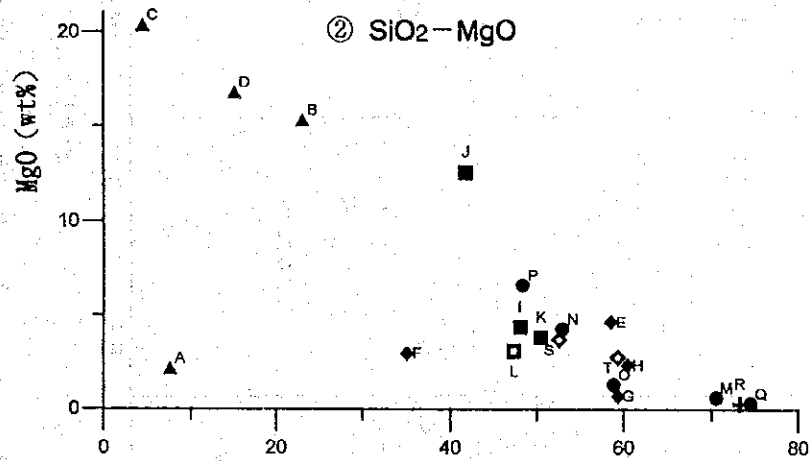
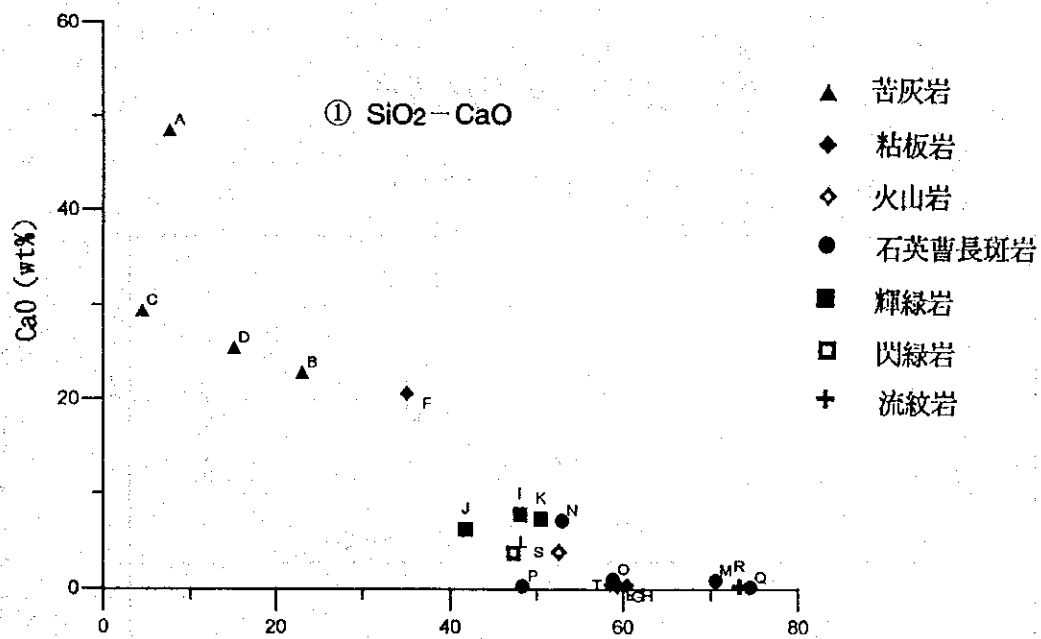


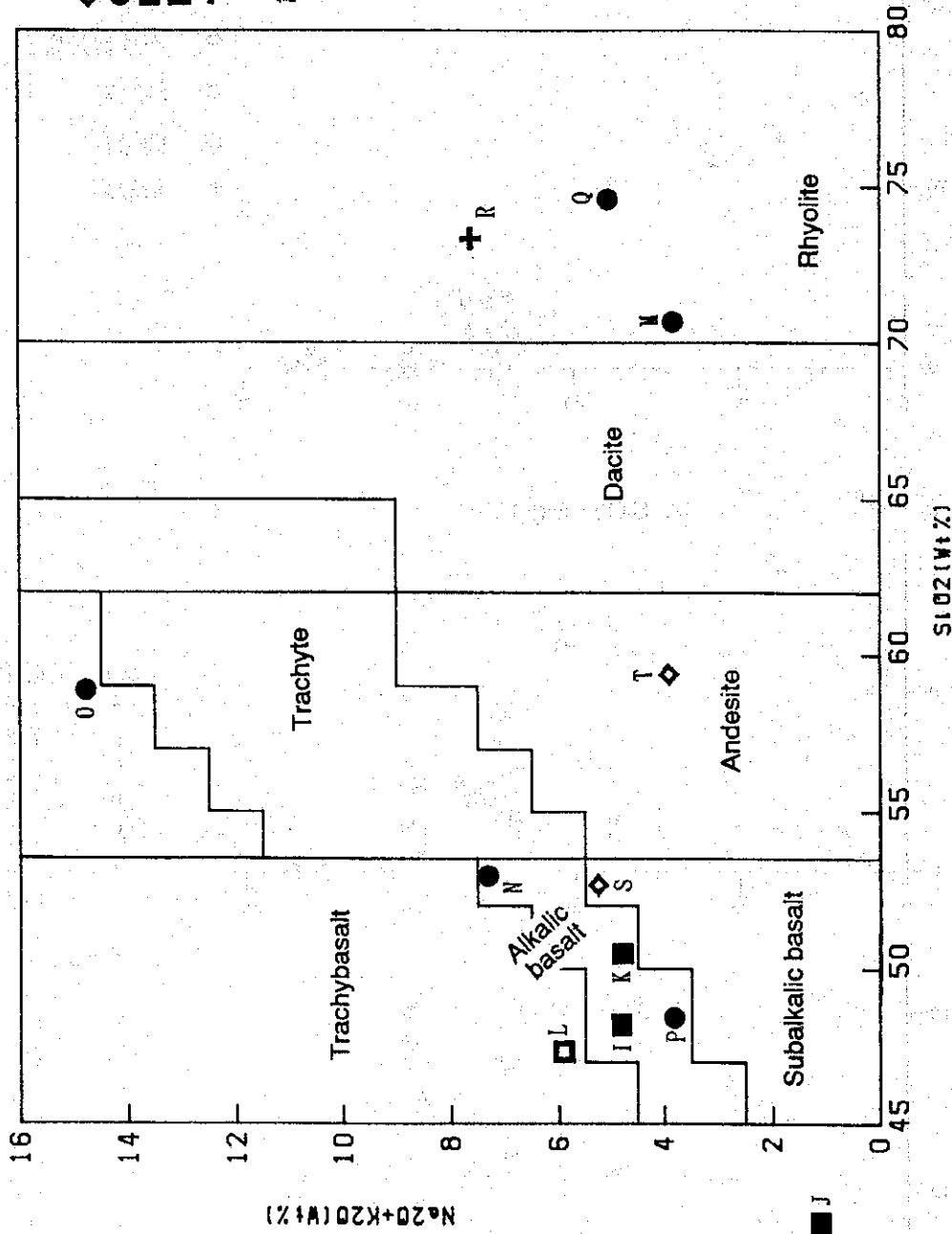
図2-5-1 岩石試料Cu成分ヒストグラム(3)



記号	試料番号
A	749
B	718
C	F12
D	F13
E	711
F	716
G	F20
H	F21
I	W01
J	T14
K	W11
L	T17
M	F57
N	N28
O	T01
P	T13
Q	F37
R	205
S	J05
T	563

図 2-5-2 全岩分析成分のダイアグラム(1)

④ SiO₂ - (Na₂O+K₂O)



- ◇ 火山岩
- 石英質斑岩
- 輝綠岩
- 閃綠岩
- ⊕ 流紋岩

記号	試料番号
I	W01
J	TI4
K	W11
L	TI7
M	F57
N	N28
O	T01
P	TI3
Q	F37
R	205
S	J05
T	563

図 2-5-2 全岩分析成分のダイヤグラム(2)

表 2-5-1 岩石分析值統計表

(1/2)

全体(478試料)	Cu(ppm)	Pb(ppm)	Sn(ppm)	Cr(ppm)	Mn(ppm)	Ti(ppm)	V(ppm)	Mo(ppm)	Zn(ppm)	Ag(ppm)	Ni(ppm)	Co(ppm)	Be(ppm)	Fe(%)
最大値	1,442.8	306.6	11.9	522	15,600	18,500	1,250	13.01	687	1.41	400.00	192.00	6.50	16.42
最小値	1.7	1.3	0.4	3	19	100	5	0.16	4	0.02	2.00	1.70	1.00	0.07
中央値	26.9	8.6	1.8	60	313	2,030	78	0.25	41	0.06	22.00	8.20	2.00	2.94
平均値	89.0	14.5	2.0	69	1,001	2,342	92	0.56	56	0.10	32.57	13.17	2.22	3.33
標準偏差	197.9	25.3	1.3	68	1,929	2,178	113	1.05	68	0.11	44.77	18.12	1.07	2.73

Y(8)試料)	Cu(ppm)	Pb(ppm)	Sn(ppm)	Cr(ppm)	Mn(ppm)	Ti(ppm)	V(ppm)	Mo(ppm)	Zn(ppm)	Ag(ppm)	Ni(ppm)	Co(ppm)	Be(ppm)	Fe(%)
最大値	1,234.2	70.2	9.2	273	15,600	18,500	542	13.01	471	0.72	400.00	192.00	5.50	10.94
最小値	1.7	1.3	0.8	5	25	159	10	0.17	8	0.02	3.40	2.00	1.00	0.11
中央値	31.8	6.2	2.0	90	458	2,395	103	0.51	33	0.05	39.10	11.70	2.00	2.42
平均値	72.1	10.3	2.5	98	1,402	3,103	120	0.89	48	0.08	57.16	22.94	2.04	3.48
標準偏差	166.6	11.9	1.4	47	2,844	2,446	77	1.54	59	0.10	66.20	30.83	0.84	3.00

L(62)試料)	Cu(ppm)	Pb(ppm)	Sn(ppm)	Cr(ppm)	Mn(ppm)	Ti(ppm)	V(ppm)	Mo(ppm)	Zn(ppm)	Ag(ppm)	Ni(ppm)	Co(ppm)	Be(ppm)	Fe(%)
最大値	1,437.6	33.0	6.0	119	12,000	4,439	193	5.36	544	0.43	95.00	56.00	6.50	12.18
最小値	1.7	1.9	0.4	5	101	100	8	0.16	4	0.02	2.00	2.00	1.00	0.20
中央値	74.4	7.9	1.5	15	2,668	592	23	0.23	52	0.10	8.00	8.05	2.00	3.75
平均値	242.3	9.1	1.6	27	3,183	969	36	0.43	55	0.12	15.60	11.42	2.51	3.41
標準偏差	323.1	5.4	1.1	27	2,613	990	35	0.78	69	0.08	18.86	10.73	1.34	2.60

E(177)試料)	Cu(ppm)	Pb(ppm)	Sn(ppm)	Cr(ppm)	Mn(ppm)	Ti(ppm)	V(ppm)	Mo(ppm)	Zn(ppm)	Ag(ppm)	Ni(ppm)	Co(ppm)	Be(ppm)	Fe(%)
最大値	1,442.8	306.6	6.4	522	8,308	9,331	1,250	8.48	687	1.41	391.00	185.80	5.50	16.42
最小値	1.7	1.4	0.4	7	19	100	10	0.17	7	0.02	2.00	1.70	1.00	0.09
中央値	31.8	7.6	2.0	88	90	3,027	102	0.27	36	0.04	28.00	5.40	2.00	1.68
平均値	62.9	17.0	2.2	107	365	3,152	130	0.58	59	0.08	43.18	8.69	2.08	2.95
標準偏差	158.6	36.4	1.0	79	940	1,427	146	1.13	83	0.13	47.49	14.68	1.08	2.75

表2-5-1 岩石分析値統計表

(2/2)

Lz(104 試料)	Cu(ppm)	Pb(ppm)	Sn(ppm)	Cr(ppm)	Mn(ppm)	Ti(ppm)	V(ppm)	Mo(ppm)	Zn(ppm)	Ag(ppm)	Ni(ppm)	Co(ppm)	Be(ppm)	Fe(%)
最大値	1,025.7	178.7	11.9	140	6,191	7,001	300	1.34	460	0.69	58.00	83.50	5.40	12.93
最小値	1.7	1.5	0.4	3	19	100	5	0.17	4	0.02	2.00	2.00	1.00	0.20
中央値	8.4	13.3	1.4	10	360	118	10	0.20	50	0.10	5.00	11.05	2.00	3.76
平均値	58.4	17.6	1.8	20	592	553	32	0.29	61	0.13	10.21	14.57	2.43	3.93
標準偏差	159.6	22.1	1.6	28	809	935	54	0.22	60	0.11	12.38	13.30	1.00	2.61

その他(34 試料)	Cu(ppm)	Pb(ppm)	Sn(ppm)	Cr(ppm)	Mn(ppm)	Ti(ppm)	V(ppm)	Mo(ppm)	Zn(ppm)	Ag(ppm)	Ni(ppm)	Co(ppm)	Be(ppm)	Fe(%)
最大値	820.2	42.9	3.1	188	6,917	17,200	203	1.27	190	0.20	60.80	46.40	5.00	8.68
最小値	5.4	5.3	0.4	5	19	100	5	0.17	10	0.02	2.50	4.00	1.00	0.20
中央値	21.9	13.2	1.3	39	386	2,413	54	0.27	50	0.05	20.50	10.50	2.00	2.92
平均値	78.0	14.6	1.5	49	955	2,738	65	0.39	51	0.06	21.51	13.37	2.29	3.00
標準偏差	156.9	8.0	0.7	39	1,578	2,953	47	0.28	36	0.04	15.29	10.48	1.11	2.40

Itv(20 試料)	Cu(ppm)	Pb(ppm)	Sn(ppm)	Cr(ppm)	Mn(ppm)	Ti(ppm)	V(ppm)	Mo(ppm)	Zn(ppm)	Ag(ppm)	Ni(ppm)	Co(ppm)	Be(ppm)	Fe(%)
最大値	597.7	31.4	6.8	117	1,365	10,000	607	5.45	141	0.54	100.00	35.80	4.50	7.95
最小値	6.0	2.0	0.7	3	30	661	6	0.17	7	0.02	2.00	2.20	1.00	0.07
中央値	45.4	6.9	1.9	26	321	4,993	147	0.71	40	0.06	11.85	7.65	2.00	3.50
平均値	117.1	8.8	2.7	32	446	4,981	161	1.19	49	0.09	26.65	11.00	2.15	3.19
標準偏差	157.7	7.1	2.1	29	417	3,479	158	1.44	40	0.12	32.28	10.23	0.99	2.54

表 2-5-2 岩石分析值層序別平均值・中央値一覽表

平均値	Y	L	E	Lz	Mz	Itv
Cu(ppm)	72.1	242.3	62.9	53.4	78.0	117.1
Pb(ppm)	10.3	9.1	17.0	17.6	14.6	8.8
Sn(ppm)	2.5	1.6	2.2	1.8	1.5	2.7
Cr(ppm)	98	27	107	20	49	32
Mn(ppm)	1.402	3.183	365	592	955	446
Ti(ppm)	3.103	969	3.152	553	2.738	4.981
V(ppm)	120	36	130	32	65	161
Mo(ppm)	0.89	0.43	0.58	0.29	0.39	1.19
Zn(ppm)	48	55	59	61	51	49
Ag(ppm)	0.08	0.12	0.08	0.13	0.06	0.09
Ni(ppm)	57.16	15.60	43.18	10.21	21.51	26.65
Co(ppm)	22.94	11.42	8.69	14.57	13.37	11.00
Be(ppm)	2.04	2.51	2.08	2.43	2.29	2.15
Fe(%)	3.48	3.41	2.95	3.93	3.00	3.19
個數	81	62	177	104	34	20

中央値	Y	L	E	Lz	Mz	Itv
Cu(ppm)	31.8	74.4	31.8	8.4	21.9	45.4
Pb(ppm)	6.2	7.9	7.6	13.3	13.2	6.9
Sn(ppm)	2.0	1.5	2.0	1.4	1.3	1.9
Cr(ppm)	90	15	88	10	39	26
Mn(ppm)	458	2.668	90	360	386	321
Ti(ppm)	2.395	592	3.027	118	2.413	4.993
V(ppm)	103	23	102	10	54	147
Mo(ppm)	0.51	0.23	0.27	0.20	0.27	0.71
Zn(ppm)	33	52	36	50	50	40
Ag(ppm)	0.05	0.10	0.04	0.10	0.05	0.06
Ni(ppm)	39.10	8.00	28.00	5.00	20.50	11.85
Co(ppm)	11.70	8.05	5.40	11.05	10.50	7.65
Be(ppm)	2.00	2.00	2.00	2.00	2.00	2.00
Fe(%)	2.42	3.75	1.68	3.76	2.92	3.50
個數	81	62	177	104	34	20

表 2-5-3 岩石分析成分相關係數表

	Cu	Pb	Sn	Cr	Mn	Ti	V	Mo	Zn	Ag	Ni	Co	Be	Fe
Cu	1	-0.01	0.18	0.04	0.06	0.21	0.26	0.78	0.01	0.40	0.18	0.58	-0.05	-0.25
Pb	-0.01	1	0.04	0.00	-0.07	0.00	0.02	0.01	0.39	0.02	-0.01	-0.01	0.04	-0.04
Sn	0.18	0.04	1	0.26	0.02	0.26	0.20	0.24	-0.10	0.19	0.06	0.11	0.16	0.35
Cr	0.04	0.00	0.26	1	-0.15	0.43	0.33	0.10	-0.01	0.03	0.43	0.15	0.26	0.50
Mn	0.06	-0.07	0.02	-0.15	1	-0.05	-0.09	0.02	-0.02	0.14	-0.06	0.24	-0.23	-0.08
Ti	0.21	0.00	0.26	0.43	-0.05	1	0.52	0.16	-0.02	0.03	0.37	0.32	0.23	0.44
V	0.26	0.02	0.20	0.33	-0.09	0.52	1	0.31	0.03	0.10	0.40	0.29	0.04	0.27
Mo	0.78	0.01	0.24	0.10	0.02	0.16	0.31	1	-0.01	0.41	0.11	0.36	-0.01	0.31
Zn	0.01	0.39	-0.10	-0.10	-0.02	-0.02	0.03	-0.01	1	-0.01	0.34	0.07	0.05	0.05
Ag	0.40	0.02	0.19	0.03	0.14	0.03	0.10	0.41	-0.01	1	0.03	0.12	-0.07	0.12
Ni	0.18	-0.01	0.06	0.43	-0.06	0.37	0.40	0.11	0.34	0.03	1	0.53	0.13	0.37
Co	0.58	-0.01	0.11	0.15	0.24	0.32	0.29	0.36	0.07	0.12	0.53	1	0.00	0.34
Be	-0.05	0.04	0.16	0.26	-0.23	0.23	0.04	-0.01	0.05	-0.07	0.13	0.00	1	0.29
Fe	0.25	-0.04	0.35	0.50	-0.08	0.44	0.27	0.31	0.03	0.12	0.37	0.34	0.29	1

表2-5-4 地化学異常値一覧表

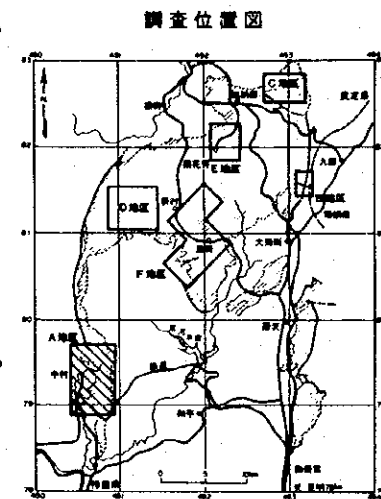
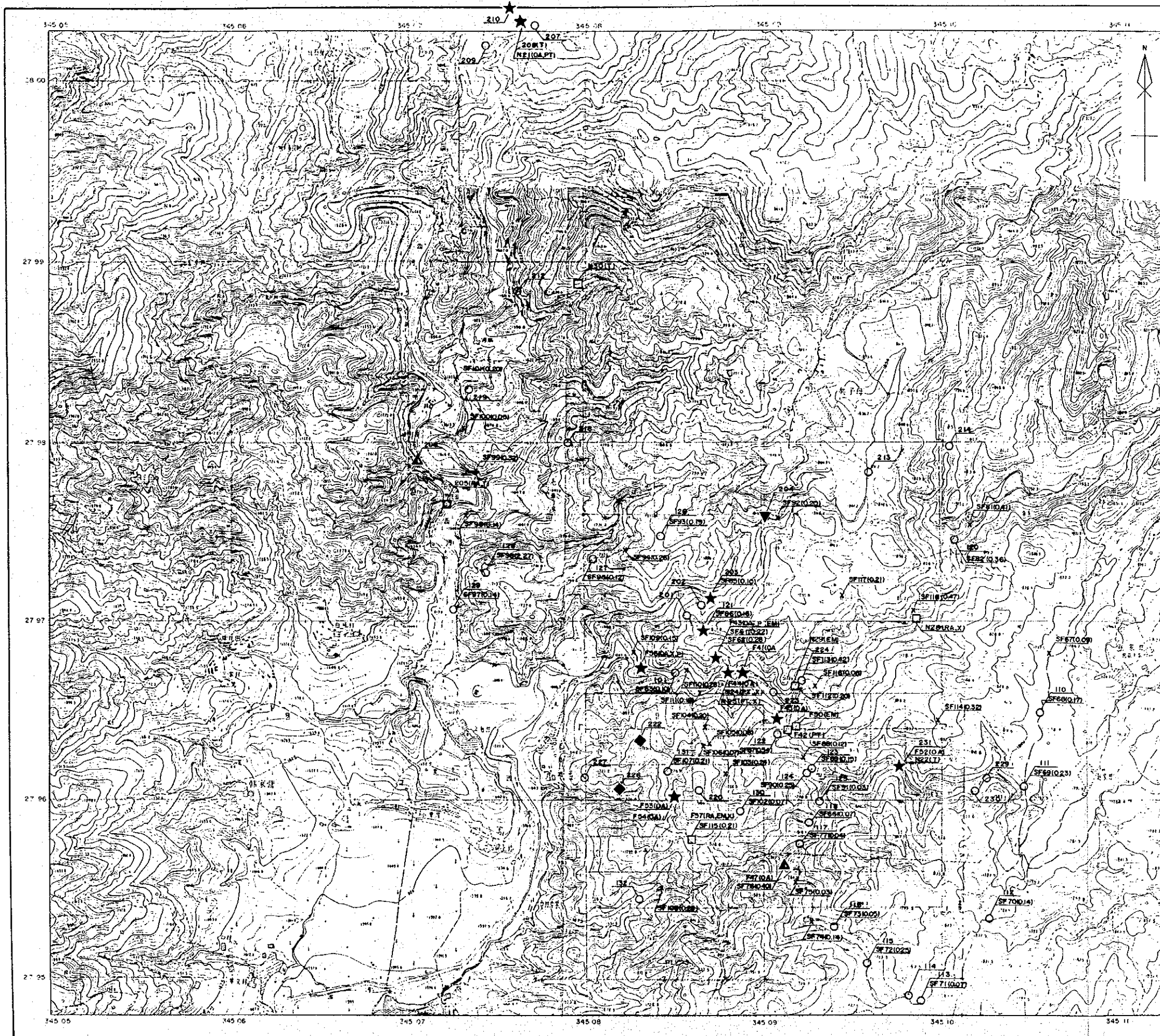
サマNo.	地区	岩質	層序	異常成分	Cu(ppm)	Mo(ppm)	Co(ppm)
73	A	sl	E	Mo	42.4	7.61	3.7
102	A	do	L	Cu	3,574.0	0.20	11.4
103	A	do	L	Cu	2,784.9	0.20	7.6
121	A	br	Y	Cu	3,100.8	1.72	17.9
141	A	br	Y	Mo	74.3	2.87	11.2
147	A	λφ	Itv	Co	390.3	2.25	101.0
157	A	sl	Y	Co	1.7	0.96	185.8
162	A	br	Y	Mo	33.3	3.35	20.1
163	A	do	L	Mo	1.7	5.36	7.6
186	A	do	L	Cu	6,500.0	0.30	5.2
187	A	do	L	Cu, Mo	1,072.5	3.42	11.3
203	A	do	L	Cu	8,500.0	0.20	15.3
204	A	sl	E	Cu	528.5	0.83	7.4
206	A	λ	Itv	Mo	25.1	5.45	3.7
210	A	do	L	Cu	18,500.0	0.37	20.8
222	A	do	L	Cu	1,437.6	0.20	10.5
226	A	do	L	Cu	1,050.1	0.17	13.8
231	A	sl	E	Cu	1,442.8	0.66	4.7
720	B	do	L	Cu	6,540.0	0.29	2.0
730	B	sl	Y	Cu	698.8	0.77	6.2
753	B	sl	E	Mo	25.0	8.43	2.0
603	C	λφ	Itv	Mo	24.6	4.61	6.8
605	C	sl	Y	Co	105.5	0.48	148.4
619	C	βμ	Itv	Co	37.7	0.99	55.2
654	C	λφ	Itv	Cu	597.7	0.73	17.2
666	C	do	Lz	Co	25.0	0.54	56.0
667	C	do	Lz	Cu, Co	621.8	1.13	58.7
307	D	do	L	Cu, Co	455.3	1.20	102.4
309	D	λφ	Itv	Cu	2,036.7	0.33	9.8
310	D	do	L	Cu	1,110.0	0.36	19.2
324	D	sl	E	Cu	845.1	0.95	51.0
340	D	cong	E	Co	41.7	2.54	57.8
353	D	do	L	Cu	7,800.0	1.10	11.3
372	D	do	L	Cu	7,120.0	1.97	10.1
408	D	sl	E	Co	40.5	0.37	83.5
411	D	sl	E	Co	91.8	0.89	53.5
412	D	sl	E	Co	56.2	0.52	54.0
415	D	do	L	Cu	6,750.0	1.92	22.9
420	D	do	L	Cu, Mo	35,700.0	21.35	43.4
424	D	do	L	Cu	7,850.0	0.93	35.5
425	D	do	L	Cu	9,730.0	2.35	23.3
426	D	do	L	Cu, Mo	9,040.0	3.20	63.2
501	E	sh	Y	Mo	125.0	3.87	24.4
502	E	sl	Y	Mo	68.2	13.01	13.5
511	E	sl	Y	Co	186.4	1.60	192.0
517	E	sl	Y	Cu	446.5	1.27	33.2
523	E	do	L	Cu, Mo, Co	94,200.0	45.35	204.9
524	E	do	Lz	Cu	1,025.7	0.86	14.1
525	E	ss	Nz	Cu	820.2	1.27	43.2
526	E	vlc	Y	Cu	1,234.2	0.77	35.3
527	E	sl	E	Cu	984.7	0.48	12.1
551	E	ss	Nz	Cu	406.5	0.52	4.6
557	E	δ	Itv	Cu	2,901.3	0.38	5.4
558	E	βμ	Itv	Cu, Co	56,100.0	2.07	325.3
559	E	sl	E	Cu	650.2	0.17	4.9
562	E	qv	Y	Co	77.4	0.52	59.5
566	E	sl	E	Mo	34.7	4.41	9.3
809	F	do	L	Cu	2,622.8	0.20	6.8
852	F	βμ	Itv	Co	213.0	0.65	54.3
858	F	sl	E	Mo	39.8	8.48	4.7
899	F	sl	Lz	Cu	2,391.0	0.20	5.0
900	F	do	Lz	Cu	582.8	0.80	6.9
901	F	do	Lz	Cu	894.4	0.20	16.0

表 2-5-5 帶磁率測定值統計表

單位: $\times 10^{-3}$ SI unit

層序・岩質	Total	Y	(Y-sl)	L	E	(E-sl)	Lz	Itv	(Y·It-br)	(Itv-8w)	Mz	Sn	Cm
平均値	1.79	1.26	1.00	0.33	0.43	0.45	0.11	10.84	0.54	18.84	0.11	0.04	0.16
最大値	190.00	14.60	12.60	8.60	20.80	20.80	2.14	190.00	4.20	109.00	0.23	0.09	0.29
最小値	0.00	0.01	0.01	0.03	0.01	0.01	0.00	0.05	0.14	0.68	0.04	0.02	0.01
標準偏差	12.59	3.18	2.52	1.28	1.88	1.95	0.25	33.66	0.77	38.38	0.06	0.02	0.10
個數	396	61	(37)	44	123	(114)	89	51	(27)	(14)	10	9	9

地区	A	B	C	D	E	F
平均値	0.21	0.23	1.50	2.27	1.00	6.79
最大値	2.27	8.40	20.70	109.00	14.20	190.00
最小値	0.03	0.00	0.04	0.01	0.00	0.01
標準偏差	0.24	1.01	3.82	12.42	2.99	30.11
個數	90	68	49	88	49	52



凡例

- 122 地化学試料番号・採取位置
- ◇ 112 鉱石試料番号・採取位置
- 123 試験試料番号・採取位置
- ◇ 113 帯磁率測定値・測定位置

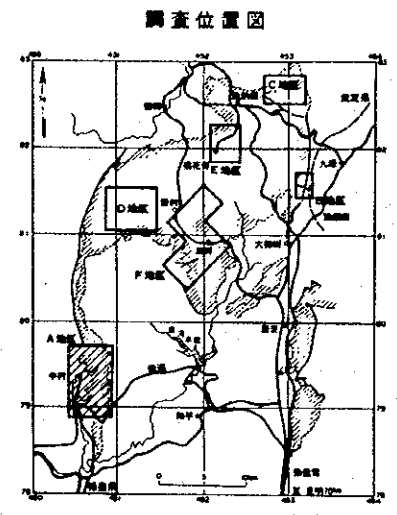
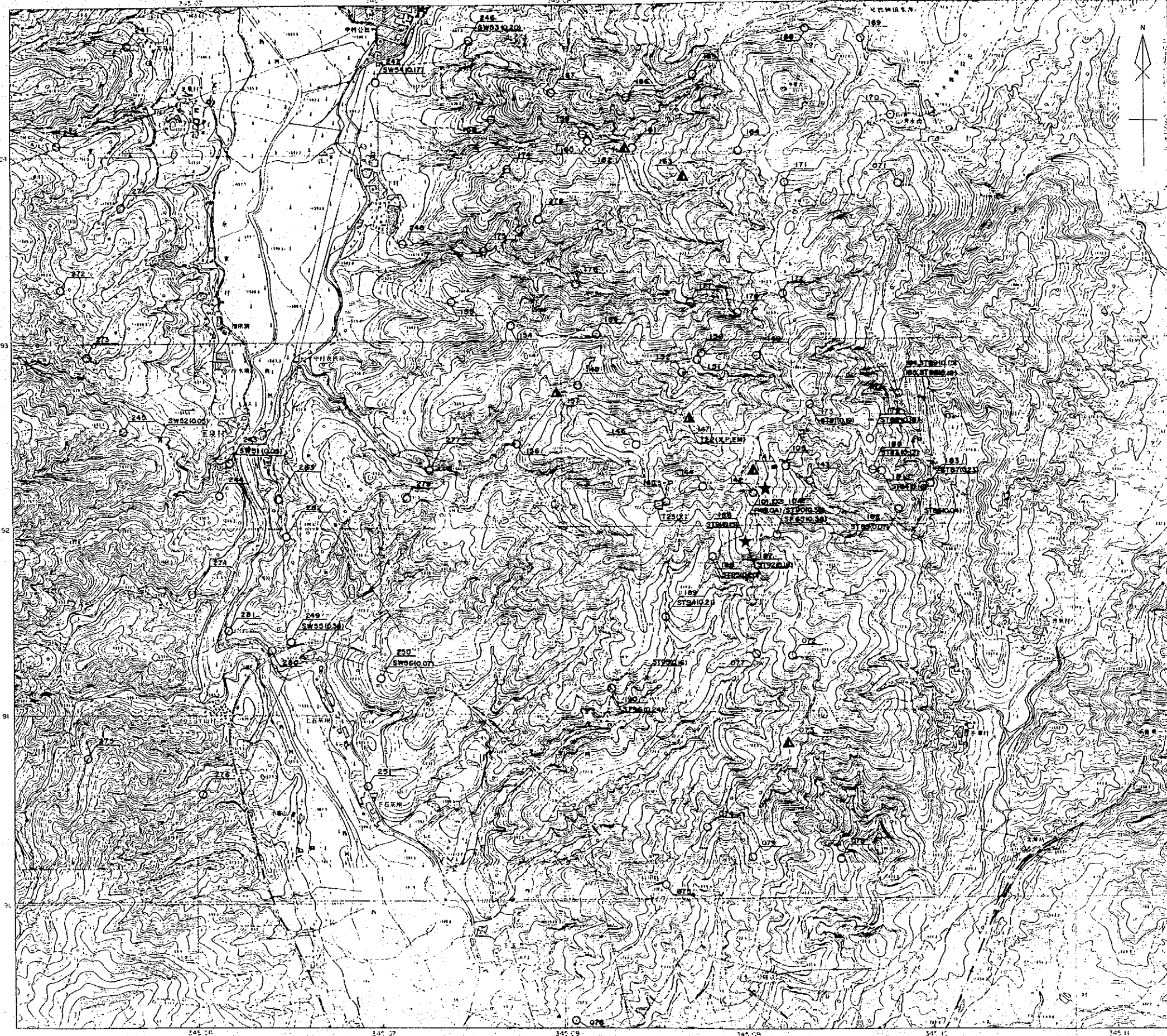
- DA 鉱石分析
- RA 全岩分析
- T 薄片
- P 研磨薄片
- X X線回折
- EM 比抵抗・分極率測定

異常値凡例

- ★ Cu ≥ 1500 ppm
- ◇ Cu ≥ 900 ppm (落雷層)
- ▽ Cu ≥ 400 ppm (落雷層を除く)
- ▲ Mo ≥ 2.7 ppm
- ▲ Co ≥ 50 ppm



平成6年度 資源開発協力基礎調査
 鉱物資源総合開発調査
 中華人民共和国 福建省 漳州市 龍巖市
 龍巖地域 (第2年次)
 中村地区 地化学異常値分布図(1)
 JICA-MMAJ
 1995-2
 図2-9-1



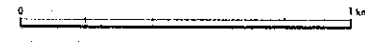
凡例

- 12.3 地化学試料番号・採取位置
- △ 112 鉱石試料番号・採取位置
- 12.3 試験試料番号・採取位置
- X 11.343 茶磁率測定値・測定位置

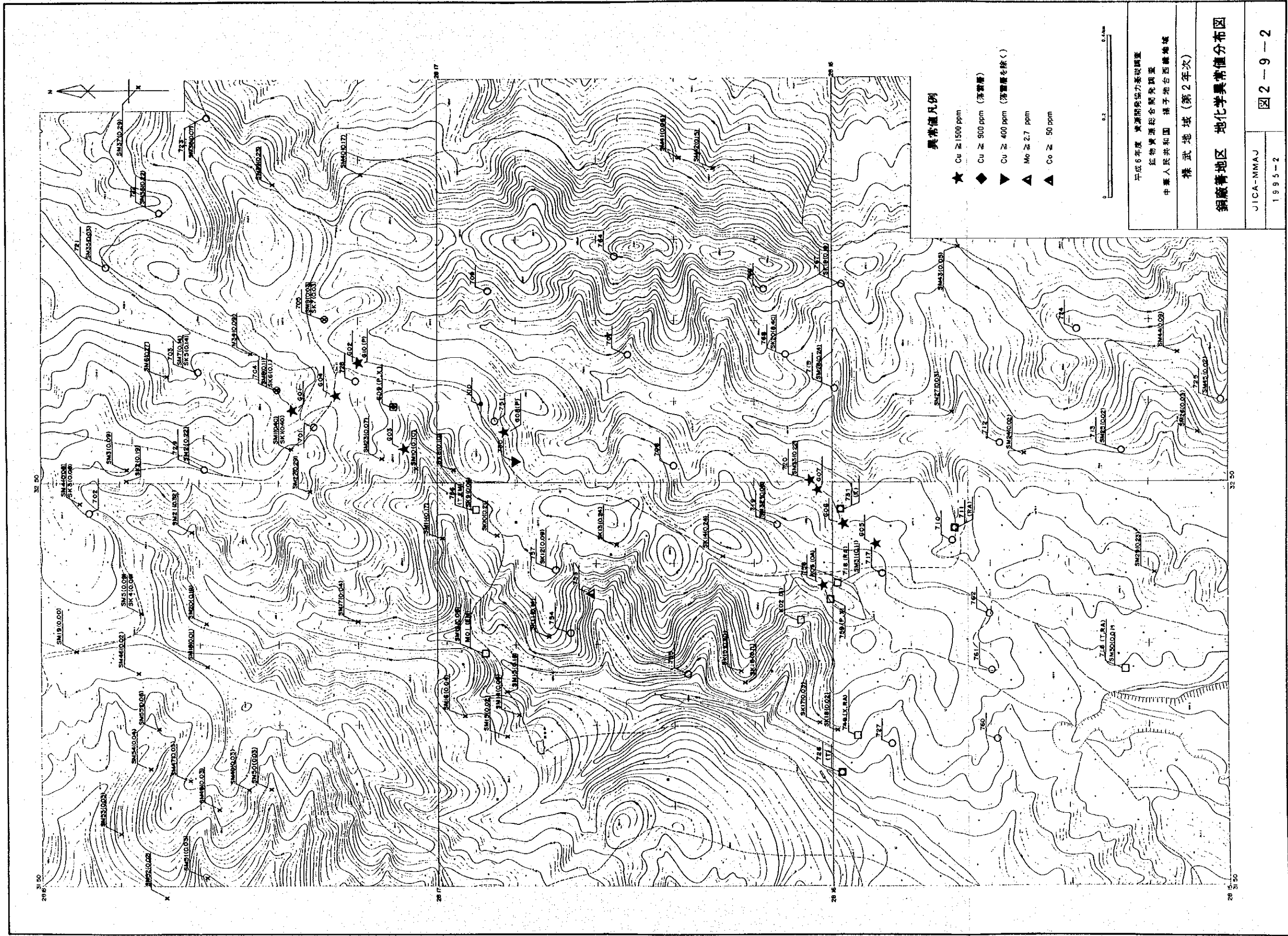
- OA 鉱石分析
- RA 全岩分析
- T 薄片
- P 研磨薄片
- X X線回折
- EM 比抵抗・分極率測定

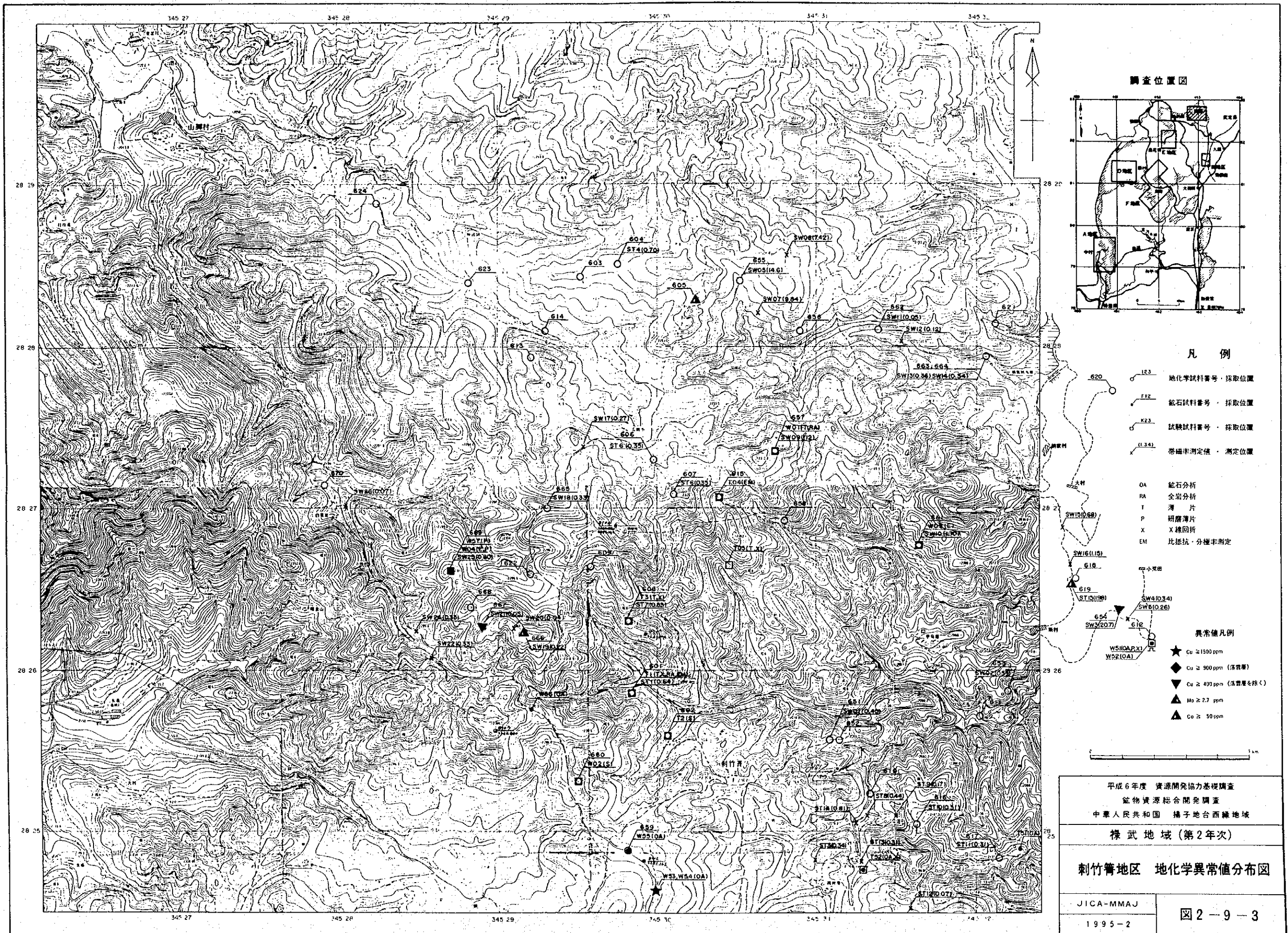
異常値凡例

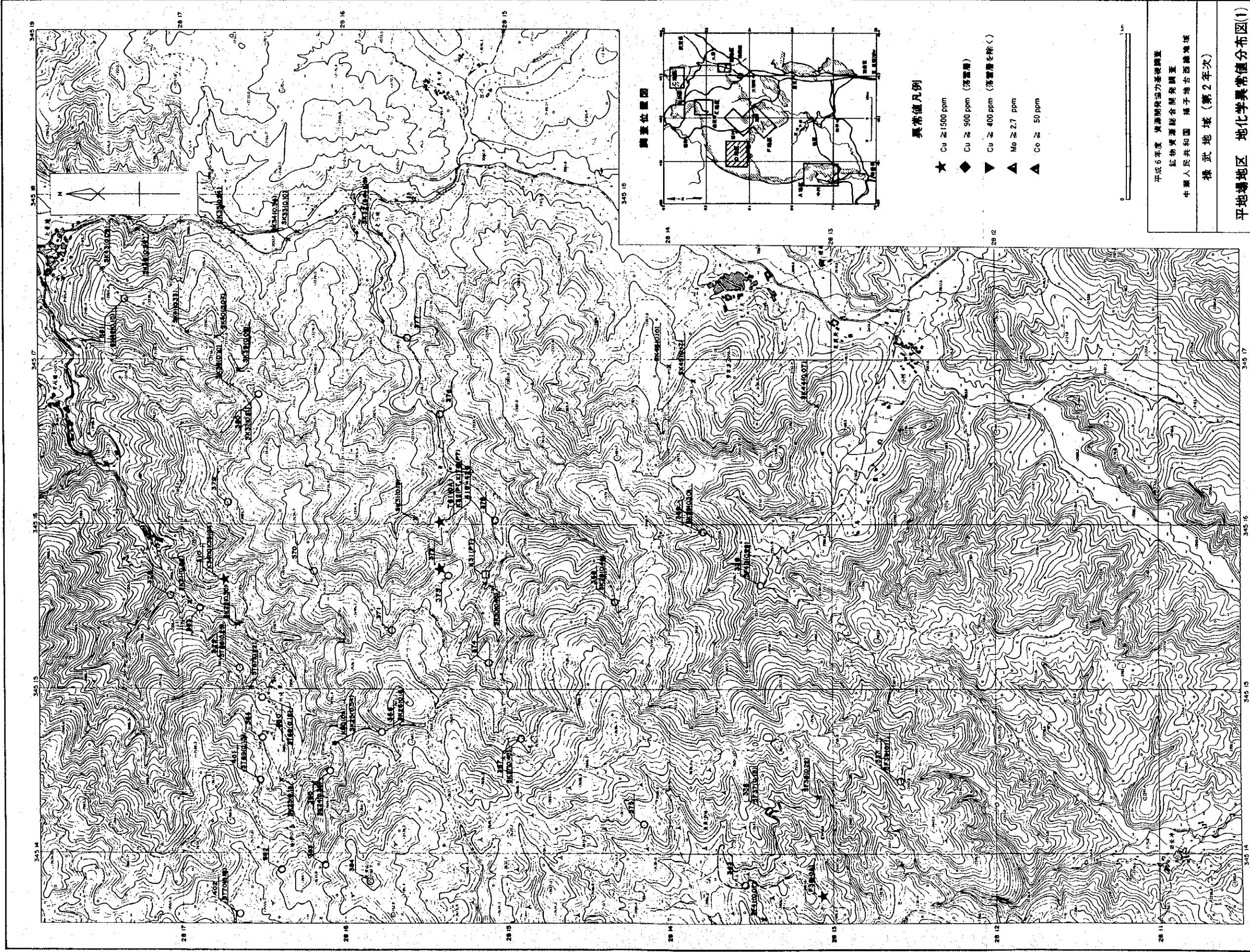
- ★ Cu ≥ 1500 ppm
- ◆ Cu ≥ 900 ppm (落雪層)
- ▼ Cu ≥ 400 ppm (落雪層を除く)
- ▲ Mo ≥ 2.7 ppm
- ▲ Co ≥ 50 ppm



平成6年度 資源開発協力基礎調査
 鉱物資源総合開発調査
 中華人民共和国 揚子地台西縁地域
 禄武地域 (第2年次)
 中村地区 地化学異常値分布図(2)
 JICA-MMAJ 1995-2 図2-9-1





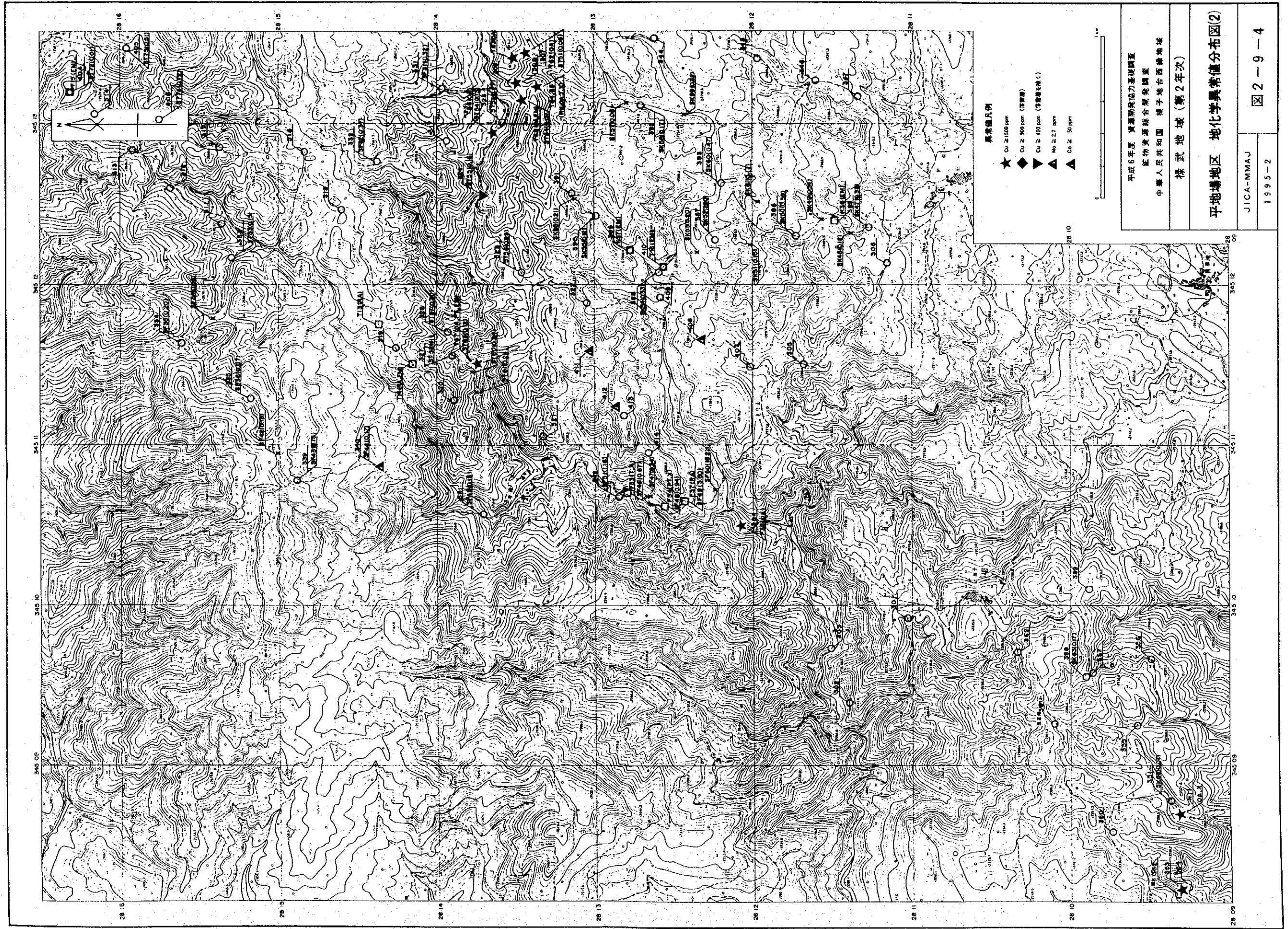


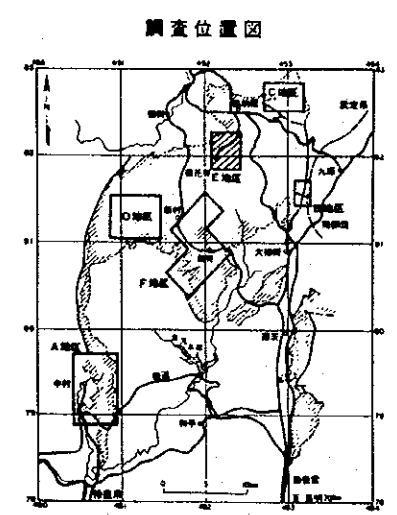
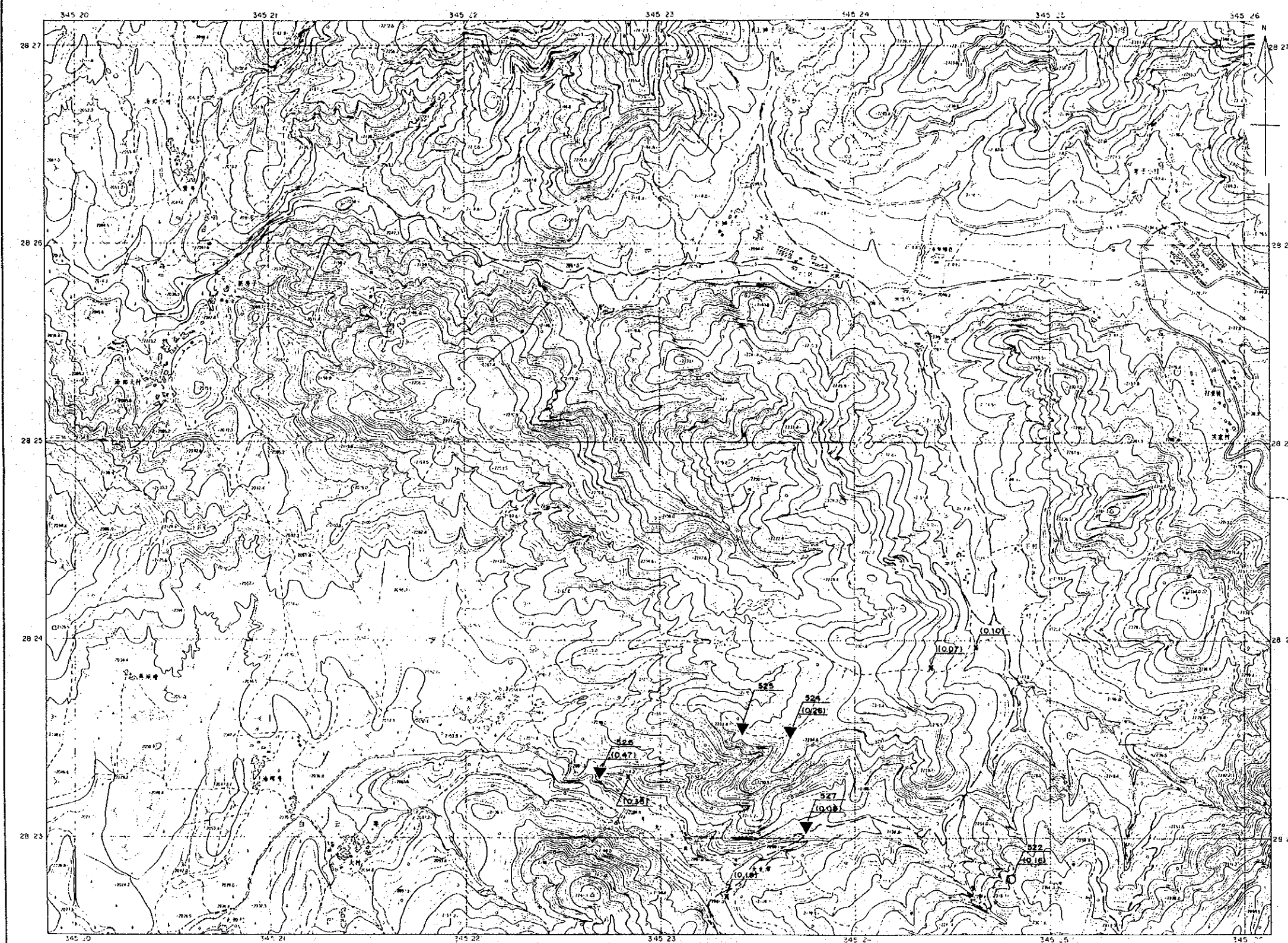
平成6年度 資源開発協力基礎調査
 鉱物資源総合開発調査
 中華人民共和國 福建省 漳州市 龍巖市
 龍巖地區 (第2年次)

平地場地区 地化学異常値分布図(1)

JICA-MMAJ
 1995-2

図2-9-4





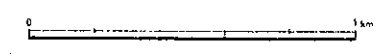
凡例

- 12.3 地化学試料番号・採取位置
- ◇ 11.12 鉱石試料番号・採取位置
- 12.23 試験試料番号・採取位置
- ◇ 11.341 常値率測定値・測定位置

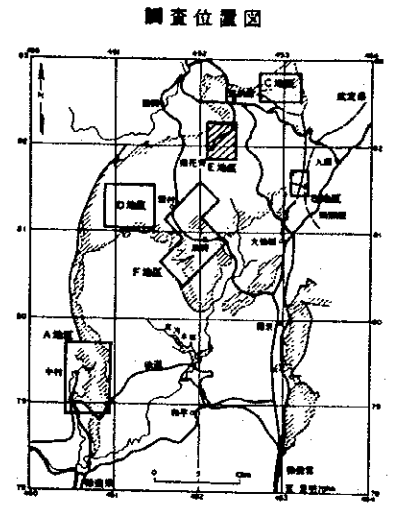
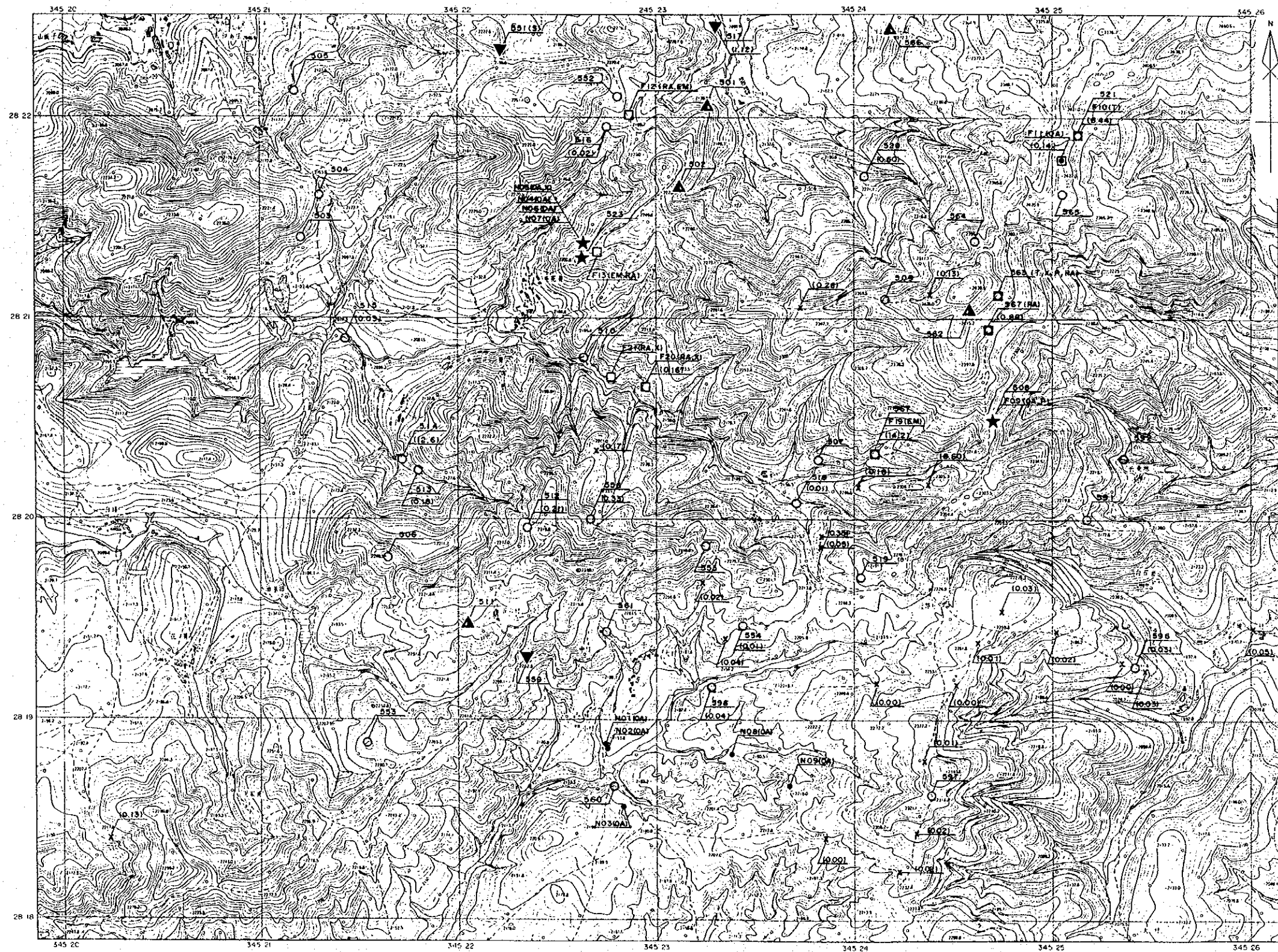
- OA 鉱石分析
- RA 全岩分析
- T 薄片
- P 研磨薄片
- X X線回折
- EM 比抵抗・分極率測定

異常値凡例

- ★ Cu ≥ 1500 ppm
- ◆ Cu ≥ 900 ppm (落雷層)
- ▼ Cu ≥ 400 ppm (落雷層を除く)
- ▲ Mo ≥ 2.7 ppm
- ▲ Co ≥ 50 ppm



平成6年度 資源開発協力基礎調査
 鉱物資源総合開発調査
 中華人民共和国 揚子地台西端地域
 禄武地域 (第2年次)
 白石岩地区 地化学異常値分布図(1)
 JICA-MMAJ
 1995-2
 図2-9-5



凡例

- 123 地化学試料番号・採取位置
- △ F12 鉱石試料番号・採取位置
- K23 試験試料番号・採取位置
- X 11.341 基準率測定値・測定位置

- OA 鉱石分析
- RA 全岩分析
- T 薄片
- P 研磨薄片
- X 線回折
- EM 比抵抗・分極率測定

異常値凡例

- ★ Cu ≥ 1500 ppm
- ◆ Cu ≥ 900 ppm (落雷層)
- ▼ Cu ≥ 400 ppm (落雷層を除く)
- ▲ Mo ≥ 2.7 ppm
- ▲ Co ≥ 50 ppm

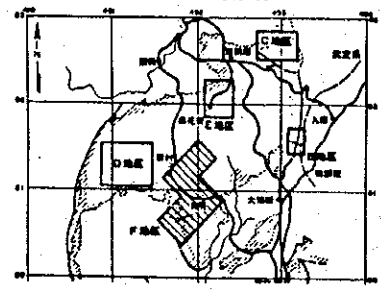
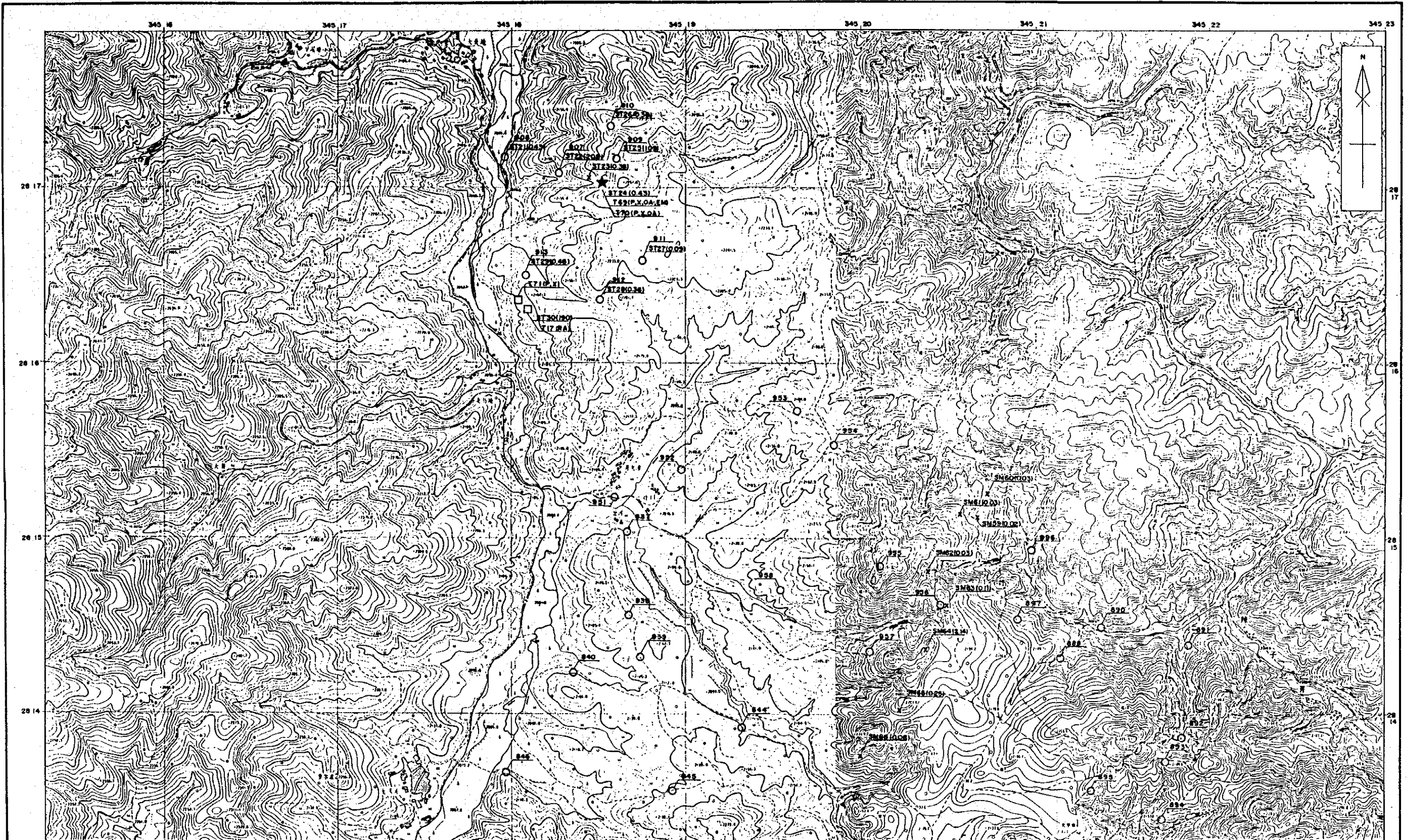


平成6年度 資源開発協力基礎調査
 鉱物資源総合開発調査
 中華人民共和国 揚子地台西縁地塊
 禄武地域 (第2年次)

白石岩地区 地化学異常値分布図(2)

JICA-MMAJ
 1995-2

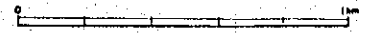
図 2-9-5



- 凡 例
- 123 地化学試料番号・採取位置
 - F12 鉱石試料番号・採取位置
 - 0.23 試験試料番号・採取位置
 - 11.341 帯磁率測定値・測定位置

- OA 鉱石分析
- RA 全岩分析
- T 薄片
- P 研磨薄片
- X X線回折
- EM 比抵抗・分極率測定

- 異常値凡例
- ★ Cu ≥ 1500 ppm
 - ◆ Cu ≥ 900 ppm (薄層層)
 - ▼ Cu ≥ 400 ppm (薄層層を除く)
 - ▲ Mo ≥ 2.7 ppm
 - ▲ Co ≥ 50 ppm



平成6年度 資源開発協力基礎調査
 鉱物資源総合開発調査
 中華人民共和国 揚子地台西縁地域
 禄武地域(第2年次)
 黑菁一河尾地区 地化学異常値分布図(1)
 JICA-MMAJ
 1995-2
 図2-9-6